

図1 2026年2月16日 (269) Justitia

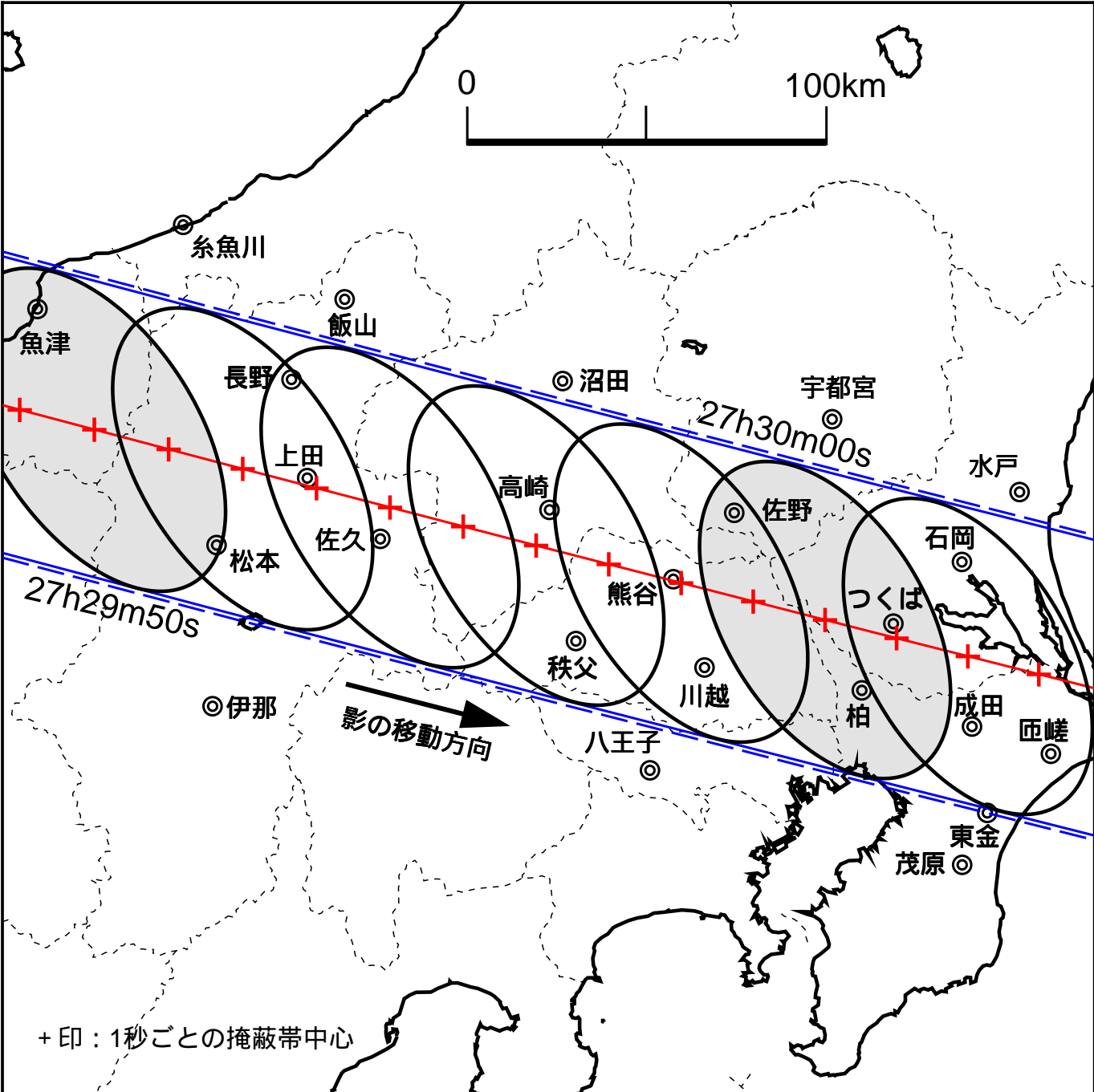


図2 2月16日(月) (269) Justitiaの掩蔽帯経路

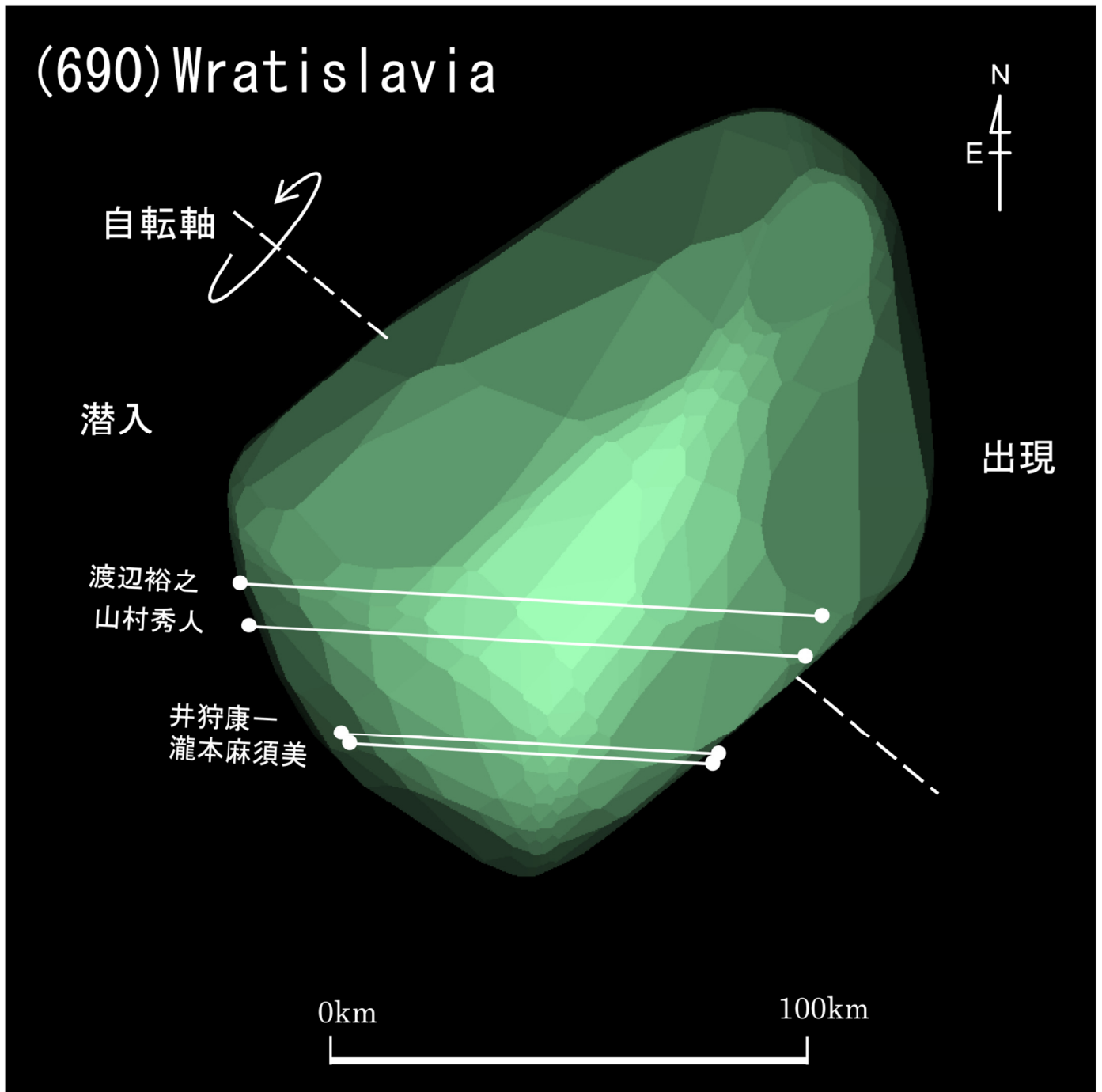


図3 (690) Wratislavia 2025年3月17日 17h42m38s UT DAMIT Model 240 ($\lambda = 359$ 、 $\beta = +45$)※1
 $P = 50^\circ$ 、 $\beta_e = +10^\circ$ 、 $\lambda_e = +263^\circ$ 、Scale Factor 1: 119.6、 $k = 0.979$ 、 $B = 96.1^\circ$

(690) Wratislavia



自轉軸



潛入

出現

J. Barton

J. Garlitz
C. Anderson

0km

100km

図4 (690) Wratislavia 2019年4月25日 7h35m26s UT DAMIT Model 240 ($\lambda = 359$ 、 $\beta = +45$) $\times 1$
 $P = 57^\circ$ 、 $\beta_e = +33^\circ$ 、 $\lambda_e = +284^\circ$ 、Scale Factor 1: 119.0、 $k = 0.999$ 、 $B = 134.2^\circ$

(329) Svea

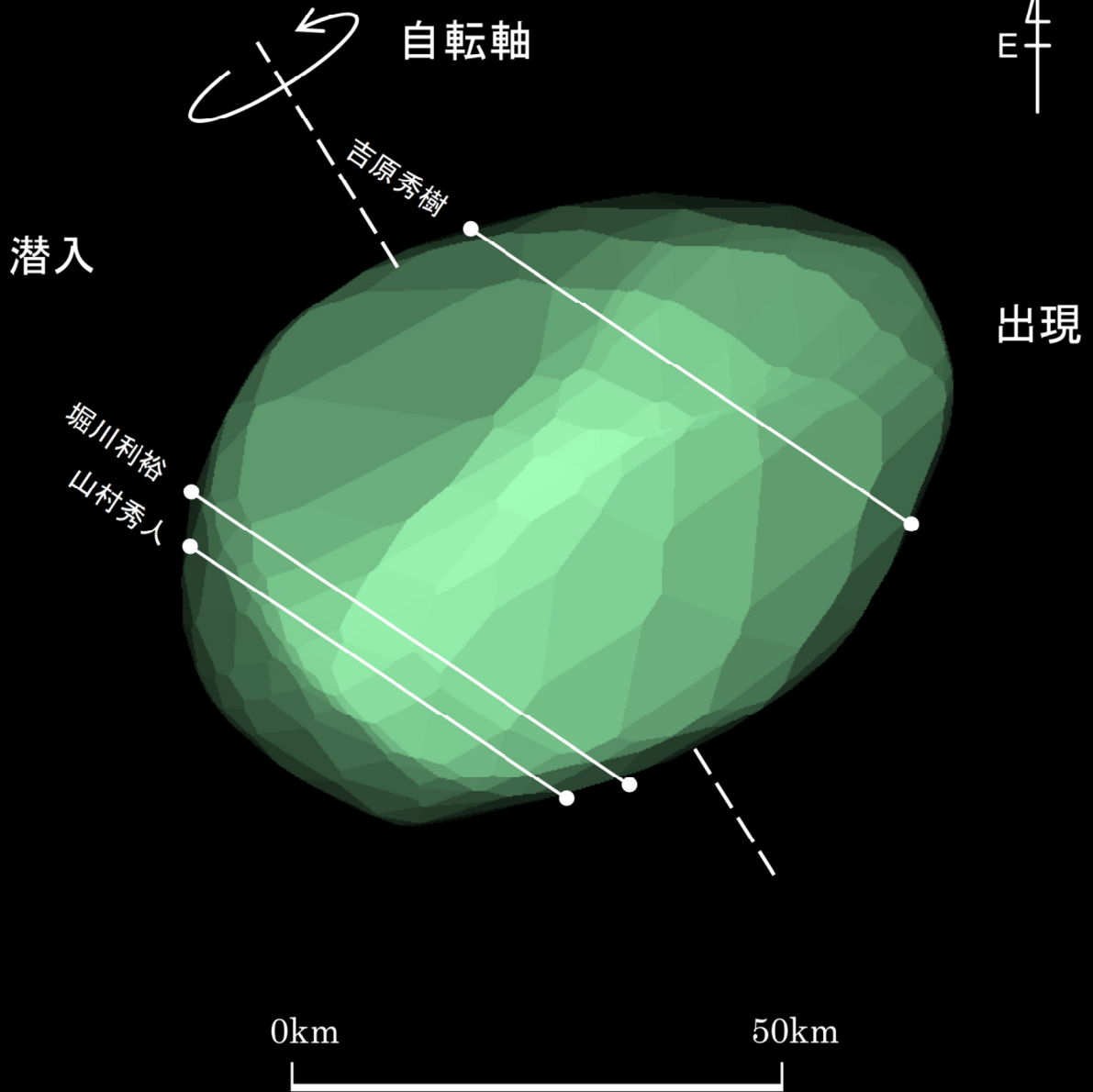
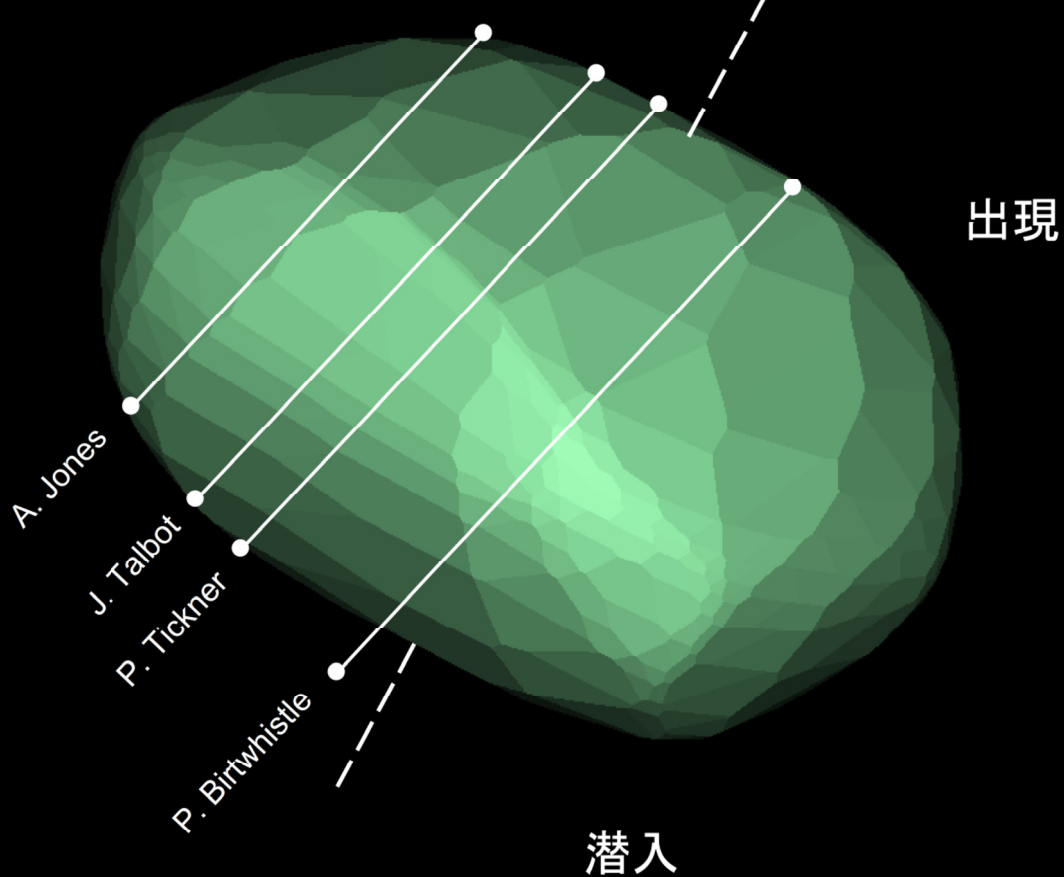


図5 (329) Svea 2025年3月21日 19h31m13s UT DAMIT Model 1867 ($\lambda = 33$, $\beta = +51$)※1
 $P = 32^\circ$, $\beta_e = +12^\circ$, $\lambda_e = -306^\circ$, Scale Factor 1: 0.911, $k = 0.958$, $B = 91.0^\circ$

(329) Svea

自轉軸



出現

潛入

0km

50km

図6 (329) Svea 2019年11月8日 01h57m46s UT DAMIT Model 1867 ($\lambda = 33$, $\beta = +51$)※1
 $P = 332^\circ$, $\beta_e = +13^\circ$, $\lambda_e = -128^\circ$, Scale Factor 1: 0.912, $k = 0.962$, $B = 106.6^\circ$

(329) Svea

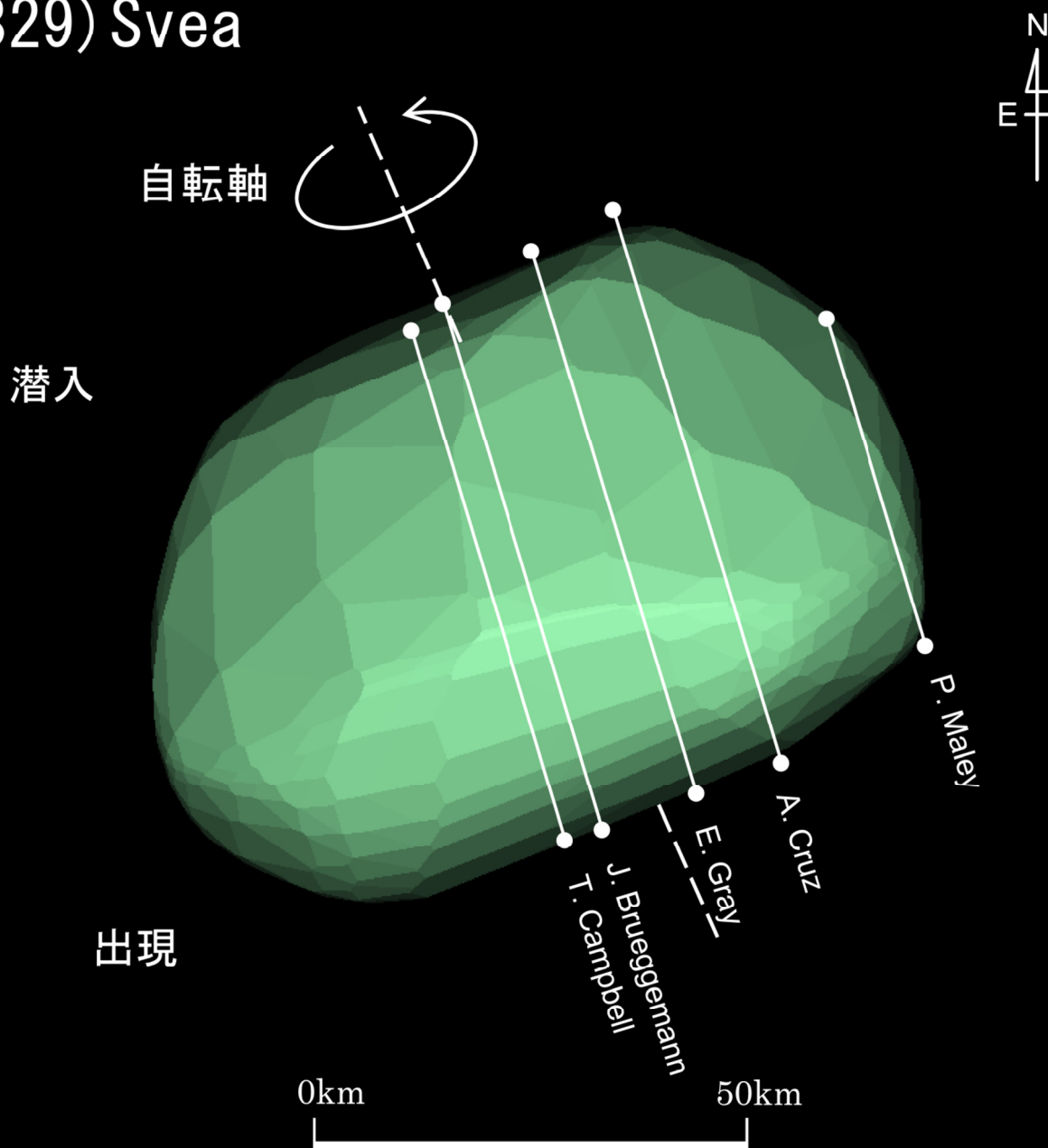


図7 (329) Svea 2013年3月7日 19h31m13s UT DAMIT Model 1867 ($\lambda = 33$, $\beta = +51$)※1
 $P = 23^\circ$ 、 $\beta_e = +30^\circ$ 、 $\lambda_e = -107^\circ$ 、Scale Factor 1: 1.033、 $k = 0.972$ 、 $B = 101.3^\circ$

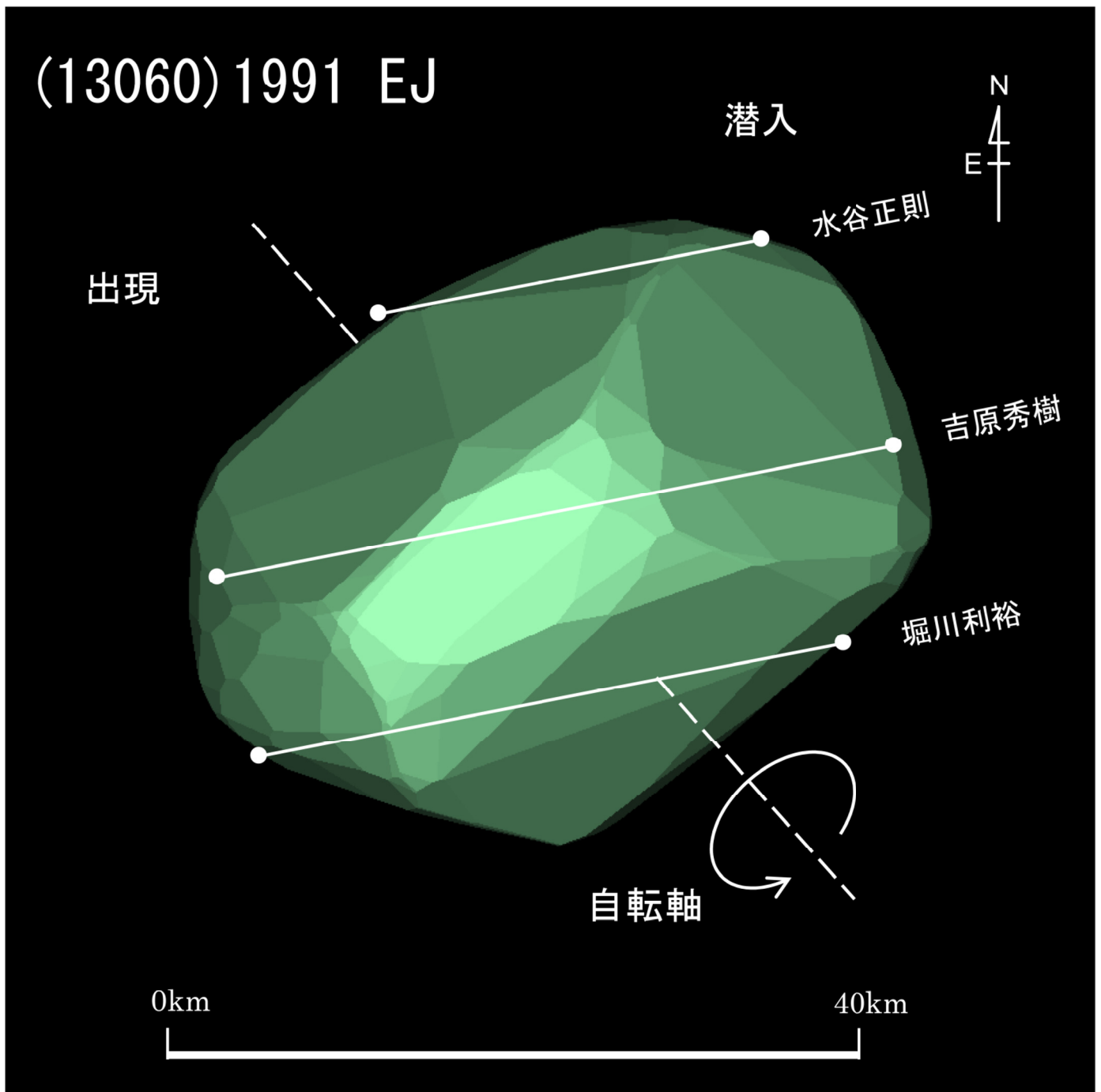


図8 (13060) 1991 EJ 2025年2月18日 19h19m37s UT DAMIT Model 3794 ($\lambda = 339$ 、 $\beta = -28$)※1
 $P = 221^\circ$ 、 $\beta_e = +39^\circ$ 、 $\lambda_e = -77^\circ$ 、Scale Factor 1:28.1、 $k = 0.999$ 、 $B = 232.5^\circ$

(273) Atropos

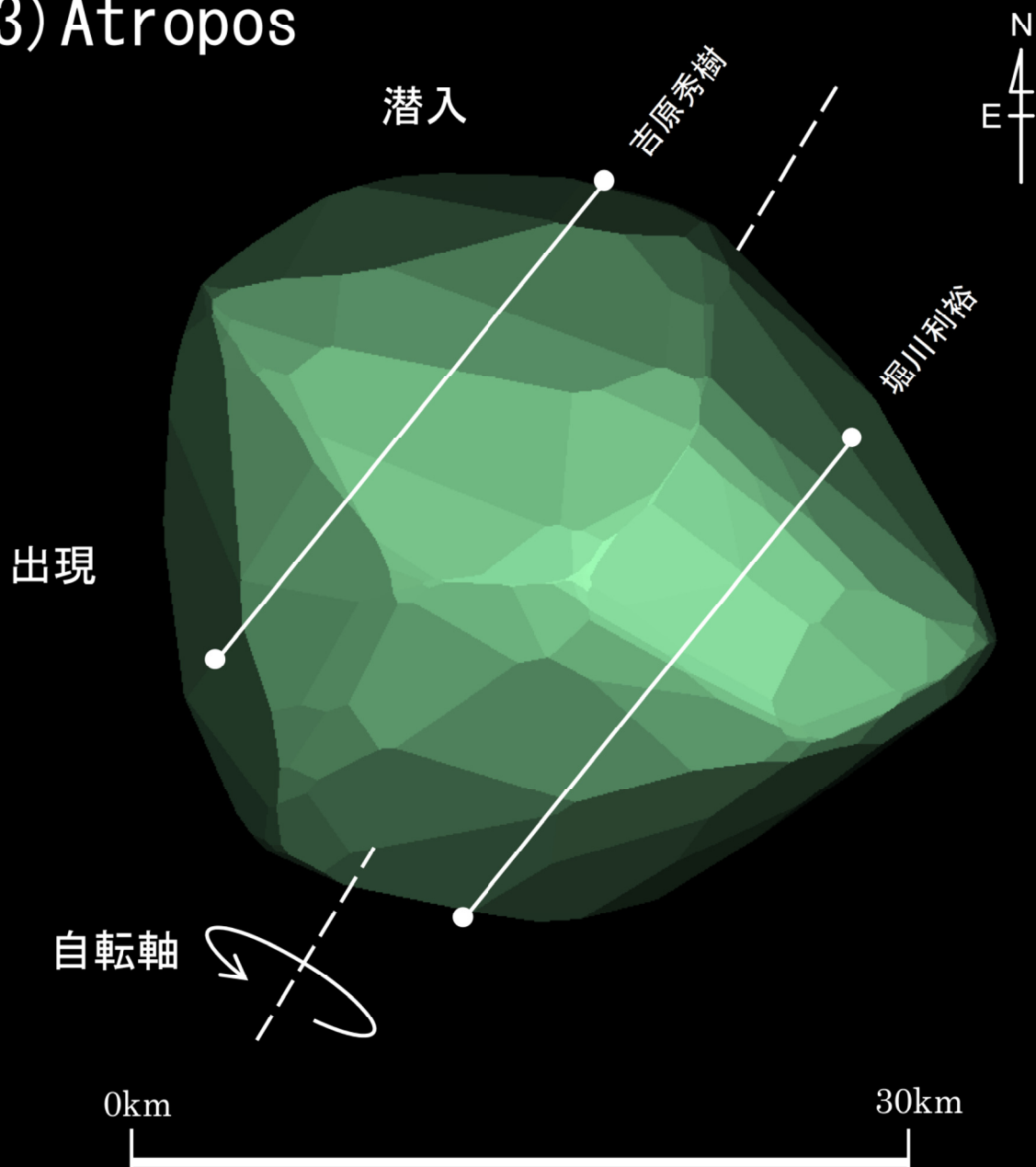


図9 (273) Atropos 2025年3月9日 16h05m03s UT DAMIT Model 4985 ($\lambda = 250$ 、 $\beta = -38$)※1
 $P = 149^\circ$ 、 $\beta_e = +13^\circ$ 、 $\lambda_e = +164^\circ$ 、Scale Factor 1: 27.3、 $k = 0.990$ 、 $B = 278.7^\circ$

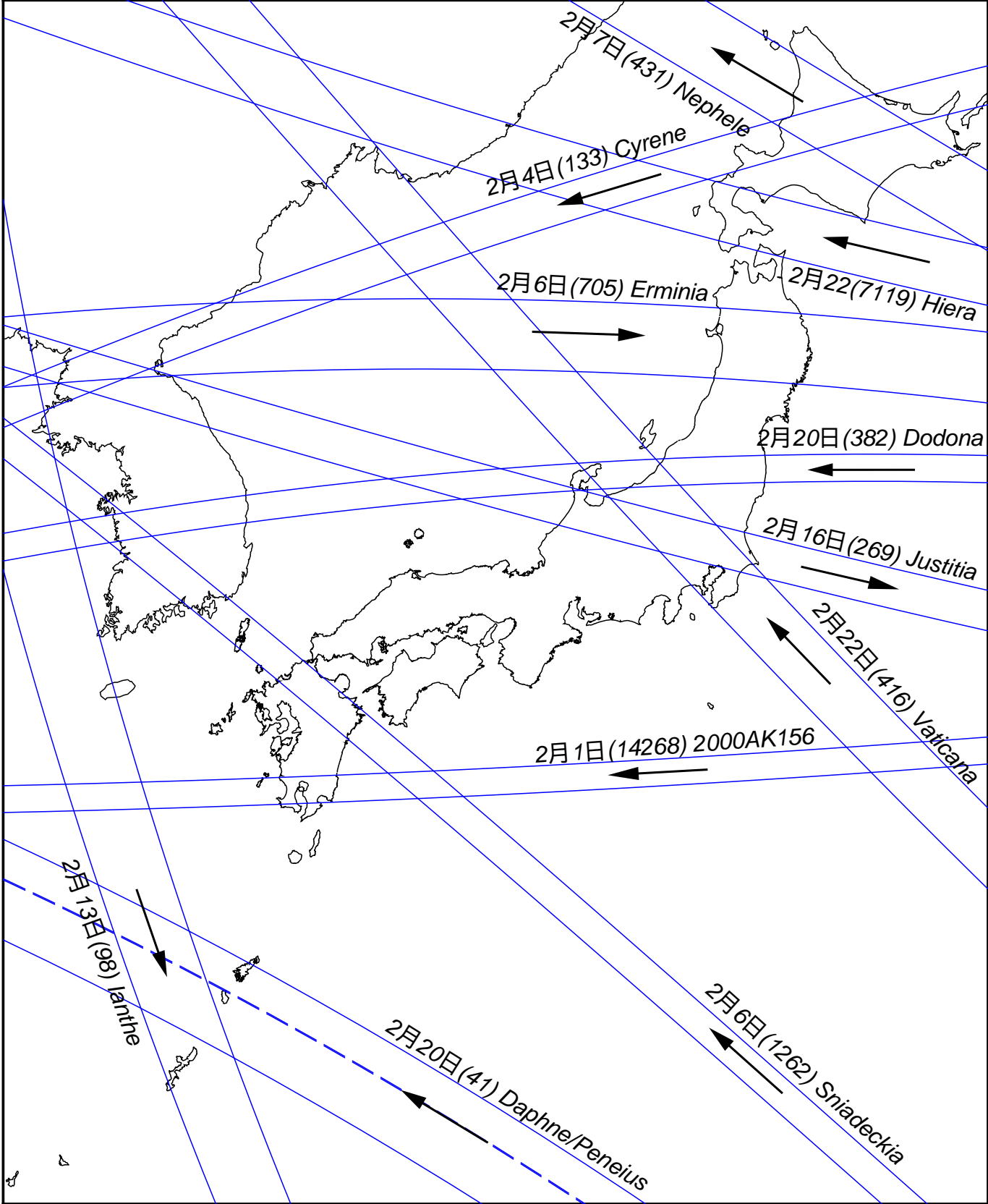


図10 小惑星による主な掩蔽帯経路 (S.Preston初期予報) 2026年 2月
 矢印は影の移動方向を示す